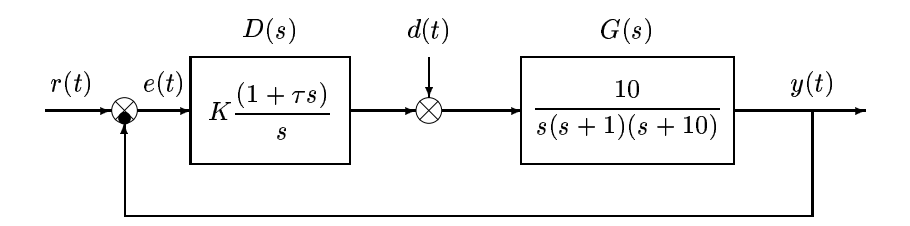
Sia dato il seguente sistema in retroazione:



- a) Determinare, in funzione di τ , per quali valori del parametro K il sistema retroazionato è asintoticamente stabile.
- b) Determinare, in funzione di K e τ , il valore a regime $e_{\infty}(t)$ della variabile errore e(t) = r(t) y(t) nei seguenti due casi: 1) ingresso a rampa e disturbo nullo: r(t) = t e d(t) = 0; 2) ingresso nullo e disturbo a rampa: r(t) = 0 e d(t) = t.
- c) Posto K=1 e $\tau=2$, disegnare qualitativamente il diagramma di Nyquist "completo" del guadagno di anello D(s)G(s). Nota: ricordarsi di chiudere il diagramma all'infinito nel modo appropriato.
- d) Posto K = 1 e $\tau = 2$, tracciare qualitativamente i diagrammi asintotici di Bode delle ampiezze e delle fasi del guadagno di anello D(s)G(s).
- e) Posto K=1, tracciare qualitativamente il contorno delle radici del sistema retroazionato al variare del parametro $\tau>0$. (Nota: per $\tau=0$ il contorno delle radici parte dai poli $p_1\simeq-10$, $p_2\simeq-1.5$ e $p_{3,4}\simeq0.25\pm0.77j$). Determinare per quali valori di τ si hanno intersezioni con l'asse immaginario.
- f) Dato il seguente sistema G(s) (cascata di due integratori):

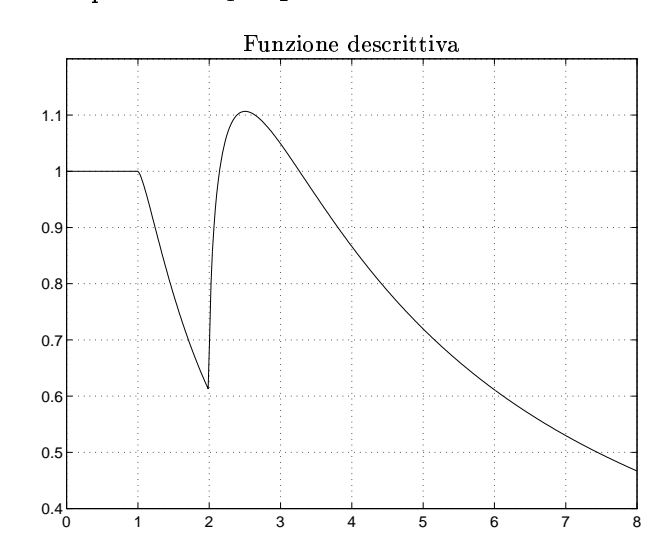
$$G(s) = \frac{1}{s^2},$$
 $D(s) = \frac{1 + \tau_1 s}{1 + \tau_2 s}$

determinare i parametri τ_1 e τ_2 di una rete anticipatrice D(s) in modo che il sistema complessivo abbia un margine di fase $M_{\varphi}=45^{\circ}$. Per la sintesi dei parametri τ_1 e τ_2 si utilizzino le formule di inversione.

g) Sia dato il seguente sistema

$$G_1(s) = \frac{e^{-2s}}{s}$$

posto in retroazione negativa su di una nonlinarità caratterizzata dalla funzione descrittiva F(X) mostrata in figura. Supponendo che l'ingresso sia nullo, r(t)=0, determinare la pulsazione ω e l'ampiezza X (approssimata) delle eventuali oscillazioni autosostenute presenti nel sistema retroazionato.



h) Utilizzando il metodo della corrispondenza poli/zeri, discretizzare il seguente regolatore PI:

$$D(s) = \frac{M(s)}{E(s)} = \frac{s+1}{s}$$

giungendo anche alla determinazione della corrispondente equazione alle differenze. Si utilizzi il periodo di campionamento T=0.2 e si imponga l'uguaglianza dei guadagni alle alte frequenze.

1

a) L'equazione caratteristica del sistema retroazionato è la seguente

$$1 + \frac{10K(1+\tau s)}{s^2(s+1)(s+10)} = 0 \qquad \to \qquad s^4 + 11s^3 + 10s^2 + 10K\tau s + 10K = 0$$

La corrispondente tabella di Routh è

Imponendo che tutti gli elementi delle prima colonna siano positivi si ottiene

$$K < \frac{11}{\tau},$$
 $K < \frac{11(\tau - 1.1)}{\tau^2} = \frac{11}{\tau} - \frac{12.1}{\tau^2},$ $K > 0$

Le condizioni più stringenti sono le ultime due. Si ricava che i valori di K per i quali il sistema retroazionato è asintoticamente stabile sono

$$0 < K < \frac{11(\tau - 1.1)}{\tau^2} \tag{1}$$

b) Nel caso di ingresso a rampa e disturbo nullo, r(t) = t e d(t) = 0, l'errore a regime $e_{\infty}(t)$ è sicuramente nullo, $e_{\infty}(t) = 0$, in quanto il sistema a valle della variabile e(t) è di tipo 2. Nel caso di ingresso nullo e disturbo a rampa, r(t) = 0 e d(t) = t, si deve invece procedere utilizzando le trasformate di Laplace. La funzione di trasferimento che lega l'ingresso D(s) al segnale errore E(s) è la seguente

$$G_d(s) = \frac{E(s)}{D(s)} = \frac{\frac{-110}{s(s+1)(s+10)}}{1 + \frac{10K(1+\tau s)}{s^2(s+1)(s+10)}} = \frac{-10 s}{s^2(s+1)(s+10) + 10K(1+\tau s)}$$

In presenza del disturbo a rampa, la trasformata di Laplace E(s) del segnale errore è

$$E(s) = G_d(s)D(s) = G_d(s)\frac{1}{s^2} = \frac{-10}{s[s^2(s+1)(s+10) + 10K(1+\tau s)]}$$

Applicando il teorema del valore finale si ottiene

$$e_{\infty}(t) = \lim_{s \to 0} s E(s) = \lim_{s \to 0} \frac{-10}{s^2(s+1)(s+10) + 10K(1+\tau s)} = -\frac{1}{K}$$

c) Posto K=1 e $\tau=2$, il guadagno di anello D(s)G(s) del sistema è

$$D(s)G(s) = \frac{10(1+2s)}{s^2(s+1)(s+10)}$$
(2)

Il corrispondente diagramma di Nyquist è mostrato in Fig. 1. L'intersezione con il semiasse negativo si ricava utilizzando i risultati dall'analisi di stabilità svolta al punto a). Sostituendo $\tau=2$ in (1) si determina il margine di ampiezza M_a del sistema e quindi l'intersezione σ_0 con il semiasse negativo

$$M_a = \frac{11(2-1.1)}{4} = \frac{9.9}{4} = 2.475$$
 $\rightarrow \qquad \sigma_0 = -\frac{1}{M_a} = -\frac{40}{99} = -0.4040$

Il diagramma di Nyquist si completa all'infinito con due semicirconferenze percorse in senso orario. Applicando il criterio di Nyquist si può concludere che il sistema retroazionato in esame è asintoticamente stabile.

d) Per K=1 e $\tau=2$, il guadagno di anello D(s)G(s) del sistema è quello del punto precedente. I corrispondenti diagrammi asintotici di Bode delle ampiezze e delle fasi sono mostrati in Fig. 2. Per $\omega=0.5$ il diagramma asintotico delle ampiezze assume il valore $\beta=4=12$ db.

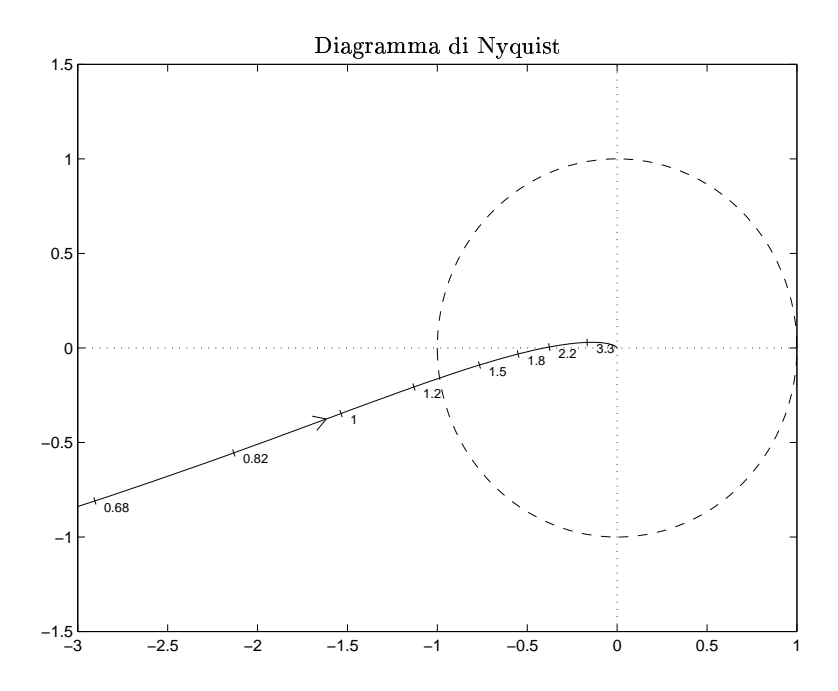


Figura 1: Diagramma di Nyquist del guadagno di anello D(s)G(s).

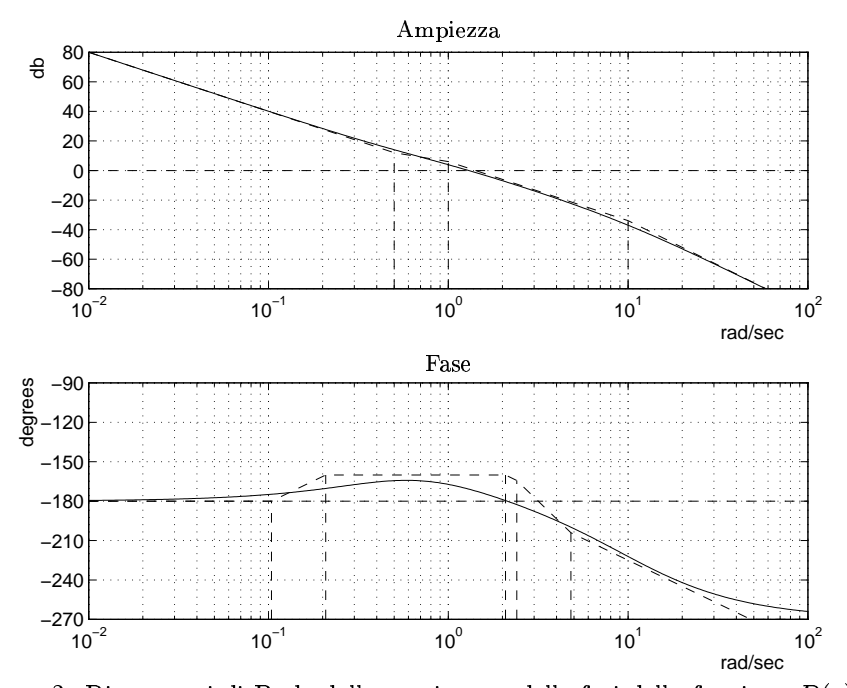


Figura 2: Diagrammi di Bode delle ampiezze e delle fasi della funzione D(s)G(s).

e) Posto K=1, l'equazione caratteristica del sistema retroazionato è

$$1 + \frac{10(1+\tau s)}{s^2(s+1)(s+10)} = 0 \qquad \to \qquad s^4 + 11s^3 + 10s^2 + 10\tau s + 10 = 0$$

Esplicitando rispetto al parametro τ si ottiene la seguente equazione

$$1 + \tau \frac{10 \, s}{s^4 + 11 s^3 + 10 s^2 + 10} = 0 \qquad \leftrightarrow \qquad 1 + \tau \frac{10 \, s}{(s + 9.989)(s + 1.514)[(s - 0.2515)^2 + 0.7733^2]} = 0$$

Il contorno delle radici ha quindi uno zero nell'origine $z_1 = 0$ e quattro poli:

$$p_1 = -9.989,$$
 $p_2 = -1.514,$ $p_{3,4} = 0.2515 \pm j0.7733$

L'andamento del contorno delle radici della funzione D(s)G(s) al variare del parametro $\tau > 0$ è mostrato in Fig. 3.

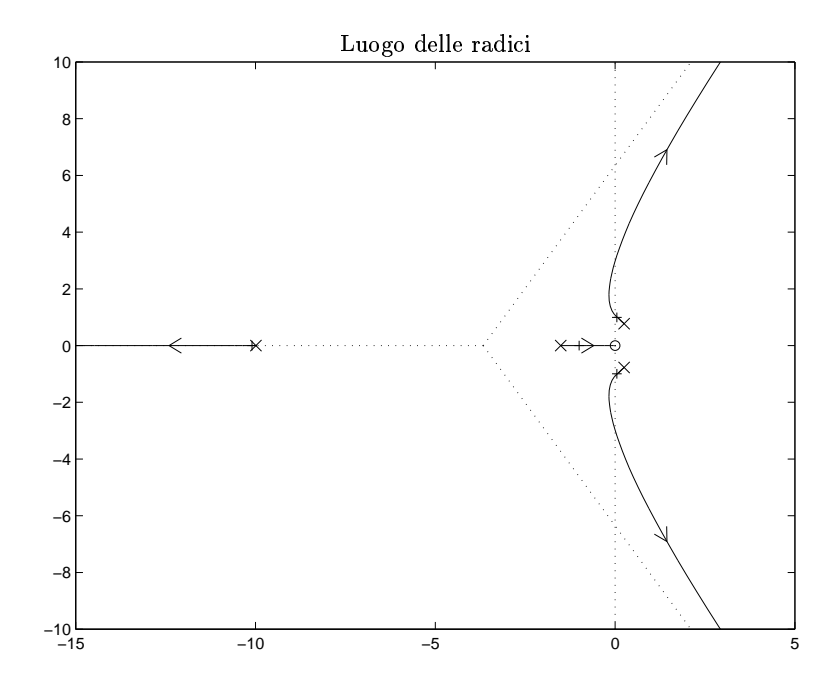


Figura 3: Contorno delle radici della funzione D(s)G(s) al variare del parametro $\tau > 0$.

Le intersezioni con l'asse immaginario si determinano utilizzando ancora una volta i risultati dell'analisi di stabilità svolta al punto a). Posto K = 1 in (1) si ricava la seguente condizione di stabilità

$$1 < \frac{11(\tau - 1.1)}{\tau^2} \qquad \leftrightarrow \qquad \tau^2 - 11\tau + 12.1 < 0$$

dalla quale si ricavano i due valori limite di τ per i quali si ha intersezione con l'asse immaginario:

$$\tau_{1,2} = \frac{11 \pm \sqrt{72.6}}{2} \qquad \rightarrow \qquad \begin{cases} \tau_1 = 1.24 \\ \tau_2 = 9.76 \end{cases}$$

Il sistema retroazionato è stabile solo per $\tau_1 < \tau < \tau_2$. Sostituendo τ_1 e τ_2 nell'equazione ausiliaria ottenuta dalla riga 2 della tabella di Routh si ricavano i valori ω_1 e ω_2 delle due intersezioni con l'asse immaginario.

$$(110 - 10\tau)s^2 + 110 = 0$$
 \rightarrow $\omega_{1,2} = \sqrt{\frac{11}{11 - \tau}}$ \rightarrow $\begin{cases} \omega_1 = 1.062 \\ \omega_2 = 2.978 \end{cases}$

f) Il sistema G(s) da stabilizzare (doppio integratore) ha una fase costante $(-\pi)$ ed un modulo decrescente in modo monotono in funzione della pulsazione ω :

$$G(s)=rac{1}{s^2}, \hspace{1cm} |G(j\omega)|=rac{1}{\omega^2}, \hspace{1cm} Arg[G(j\omega)]=-\pi$$

Per imporre al sistema retroazionato un margine di fase $M_a=45^o$ occorre inserire una rete correttrice che introduca un anticipo di fase φ_m esattamente uguale al margine di fase

$$\varphi_m = 45,$$
 $\alpha = \frac{1 - \sin \varphi_m}{1 + \sin \varphi_m} = \frac{\sqrt{2} - 1}{\sqrt{2} + 1} = 0.1716 = -15.31 \text{ db}$

L'anticipo $\varphi_m = 45$ viene raggiunto nel punto centrale della rete anticipatrice. In tale punto l'amplificazione introdotta dalla rete correttrice è pari a -0.5α quando α è espresso in db:

$$-\frac{\alpha_{db}}{2} = 7.655 \text{ db} = 2.414 = \frac{1}{0.4142} = \frac{1}{\sqrt{\alpha}}$$

Il centro ω_0 della rete anticipatrice si determina imponendo che l'attenuazione del sistema compensi esattamente l'amplificazione della rete correttrice

$$\frac{1}{\omega_0^2} = \frac{1}{2.414} = 0.4142 = \sqrt{\alpha}, \qquad \rightarrow \qquad \omega_0 = \alpha^{-\frac{1}{4}} = \sqrt{2.414} = 1.5537$$

Imponendo che il centro della rete correttrice sia uguale ad ω_0 di determina il parametro τ

$$\frac{1}{\tau\sqrt{\alpha}} = \omega_0 = \alpha^{-\frac{1}{4}} \qquad \to \qquad \tau = \frac{1}{\omega_0\sqrt{\alpha}} = \alpha^{-\frac{1}{4}} = 1.5537$$

La rete correttrice cercata ha quindi la seguente forma

$$D(s) = \frac{1 + 1.5537s}{1 + 0.2666s}$$

La soluzione ottenuta in questo modo è quella che massimizza il valore di α . In realtà esistono infinite altre coppie di valori α , τ che permetterebbero, a frequenze diverse, di soddisfare la specifica $M_{\varphi}=45^{\circ}$ sul margine di fase.

- g) Per calcolare il margine di ampiezza del sistema $G_1(s)$ si può procedere in due modi diversi:
 - 1) Ricavando l'equazione caratteristica

$$1 + \frac{10K}{(s+1)^3} = 0 \qquad \to \qquad s^3 + 3s^2 + 3s + 1 + 10K = 0$$

e utilizzando la tabella di Routh

Da questa tabella si ricava

$$M_a = \frac{4}{5} = 0.8,$$
 $\omega_0 = \sqrt{3} = 1.732$

2) Si calcola la pulsazione ω_0 per la quale il sistema ha fase $-\pi$

$$Arg[G_1(j\omega_0)] = -\pi$$
 \leftrightarrow $-3 \arctan \omega_0 = -\pi$ \rightarrow $\omega_0 = \tan \frac{\pi}{3} = \sqrt{3}$

e poi in ω_0 si calcola il modulo della funzione G(s)

$$|G(j\omega_0)| = \frac{10}{(\sqrt{1+\omega_0^2})^3} = \frac{5}{4} \qquad \leftrightarrow \qquad M_a = \frac{4}{5}$$

Entrando nel grafico della funzione descrittiva F(X) con il valore $M_a = 0.8$ si individuano 3 intersezioni con la funzione descrittiva e quindi tre possibili oscillazioni autosostenute. Le ampiezze X di queste autooscillazioni sono

$$X_1 = 1.456,$$
 $X_2 = 2.027,$ $X_3 = 4.416$

Solo i valori X_1 e X_3 corrispondono a cicli limite stabili. La pulsazione ω_0 di tutti e tre i cicli limite è quella determinata in precedenza: $\omega_0 = \sqrt{3} = 1.732$.

h) Utilizzando il metodo della corrispondenza poli/zeri si ottiene

$$D(s) = \frac{s+1}{s} \hspace{1cm} \rightarrow \hspace{1cm} D(z) = \left. k \frac{1 - e^{-T} z^{-1}}{1 - z^{-1}} \right|_{T=0.2} = k \frac{1 - 0.8187 z^{-1}}{1 - z^{-1}}$$

Il valore di k si calcola imponendo l'uguaglianza dei guadagni alle elevate frequenze

$$D(s)|_{s \to \infty} = D(z)|_{z=-1}$$
 \leftrightarrow $1 = k \frac{1 + e^{-T}}{2}$ \rightarrow $k = \frac{2}{1.8187} = 1.1$

La corrispondente equazione alle differenze si ricava dalla relazione

$$M(z)(1-z^{-1}) = kE(z)(1-0.8187z^{-1})$$

ottenendo

$$m(k) = m(k-1) + ke(k) - k0.8187e(k-1)$$

da cui si ricava

$$m(k) = m(k-1) + 1.1e(k) - 0.9e(k-1)$$

Esame scritto di "Controlli Automatici" - Modena - 2 Febbraio 2001 - Domande Teoriche

Per ciascuno dei seguenti test segnare con una crocetta le affermazioni che si ritengono giuste. Alcuni test sono seguiti da più affermazioni giuste e si considerano superati quando queste vengono contrassegnate tutte.

- 1. La trasformata di Laplace del segnale x(t) = sin(2t) è
 - $\bigcirc X(s) = \frac{s}{s^2+4}$
 - $\bigotimes X(s) = \frac{2}{s^2+4}$
 - $\bigcirc X(s) = \frac{4}{s^2 + 4}$
- 2. La risposta impulsiva g(t) del sistema $G(s) = \frac{2}{s(s^2 + 0.8s + 1)}$
 - \bigcirc tende a 0 per t tendente all'infinito: $\lim_{t\to\infty} g(t) = 0$
 - \bigcirc tende a 1 per t tendente all'infinito: $\lim_{t\to\infty} g(t) = 1$
 - 🛇 presenta una sovraelongazione rispetto al valore finale
 - \bigotimes è nulla per t tendente a 0: $\lim_{t\to 0} g(t) = 0$
- 3. Se i coefficienti dell'equazione caratteristica di un sistema retroazionato sono tutti positivi, allora è possibile affermare che il sistema retroazionato
 - () è stabile
 - 🛇 può essere stabile
 - 🛇 può essere instabile
- 4. Il diagramma di Nyquist della funzione $G(s) = \frac{(s-1)}{s(s+1)}$ ha un asintoto verticale nel punto
 - $\bigcirc \sigma_0 = 0$
 - $\bigotimes \sigma_0 = 2$
 - $\bigcirc \sigma_0 = -2$
- 5. Il diagramma di Nichols di un ritardo finito $G(s) = e^{-t_0 s}$
 - è una retta verticale
 - ⊗ è una retta orizzontale
 - () è un cerchio
- 6. La funzione $G(s) = K(1 + \frac{1}{T_i s} + T_d s)$, che rappresenta un regolatore standard PID,
 - è fisicamente realizzabile
 - ⋈ non è fisicamente realizzabile
 - 🛇 è un modello ideale semplificato dei PID realizzati fisicamente
- 7. La stabilità di un sistema lineare tempo-invariante
 - O è funzione delle condizioni iniziali del sistema
 - O è funzione del valore degli ingressi
 - 🛇 è funzione della posizione dei poli del sistema
- 8. Nel caso di sistemi a retroazione non unitaria, per il calcolo dell'errore a regime e(t) = r(t) 2c(t) è possibile utilizzare le stesse formule trovate per il caso a retroazione unitaria se si utilizza al posto di G(s) la funzione
 - $\bigcirc G_e(s) = \frac{G(s)}{1 + G(s)[H(s) 2]}$
 - $\bigotimes G_e(s) = \frac{2G(s)}{1 + G(s)[H(s) 2]}$
 - $\bigcap G_e(s) = \frac{2G(s)}{1 + G(s)[2H(s) 1]}$

9.	Nella seconda formulazione del criterio di Nyquist, quella valida anche per sistemi "instabili", si fa l'ipotesi che il sistema, oltre a poter avere un polo semplice o doppio nell'origine,
	 ○ sia a fase minima ○ abbia poli semplici sull'asse immaginario ○ non abbia poli sull'asse immaginario ○ non si fanno altre ipotesi
10.	Una rete ritardatrice $D(s) = \frac{1+\alpha\tau s}{1+\tau s}$
	\otimes sfasa a tutte le pulsazioni $\omega \in]0, \infty[$ \bigcirc amplifica alle basse frequenze \otimes è utile per stabilizzare sistemi fortemente instabili \bigcirc rende "più pronto" il sistema retroazionato
11.	In corrispondenza della pulsazione centrale $\omega_n = \frac{1}{\sqrt{\tau_1 \tau_2}}$, una rete a ritardo e anticipo $D(s) = \frac{(1+\tau_1 s)(1+\tau_2 s)}{(1+\alpha\tau_1 s)(1+\frac{\tau_2}{s}s)}$
	\bigotimes attenua ma non sfasa $ \bigcirc \text{ sfasa di } -\pi $ $ \bigcirc \text{ attenua di } \alpha $
12.	Dato un sistema $G(s)$, per calcolare il guadagno statico del sistema retroazionato $G_0(s) = \frac{G(s)}{1+G(s)}$ utilizzando i luoghi ad M costante di deve determinare il valore M
	O della più piccola circonferenza esterna e tangente al diagramma polare completo $G(j\omega)$ O della più grande circonferenza interna e tangente al diagramma polare completo $G(j\omega)$ O della circonferenza che passa per il punto $G(0)$ O della circonferenza che passa per il punto $G(j\omega)$
13.	La funzione descrittiva $F(X)$ di un relè con isteresi
	\bigcirc è una funzione reale positiva \bigotimes è una funzione complessa \bigotimes è una funzione definita solo per $X>X_1$ dove X_1 è l'ampiezza dell'isteresi
14.	Sul piano z i luoghi dei punti a cui corrisponde un coefficiente di smorzamento δ costante:
	 ○ sono rette uscenti dall'origine ○ sono circonferenze centrate nell'origine ⊗ sono curve a spirale
15.	La trasformazione bilineare $s = \frac{2}{T} \frac{1-z^{-1}}{1+z^{-1}}$
	\otimes è una corrispondenza biunivoca tra il piano s e il piano z \bigcirc genera "aliasing" \otimes determina "compressione spettrale" della corrispondente funzione di risposta armonica discreta
16.	La \mathcal{Z} -trasformata $G(z)$ della funzione $G(s)=G_1(s)G_2(s)$ può anche essere calcolata nel seguente modo
	$\bigotimes G(z) = \mathcal{Z}[G_1(s) G_2(s)]$ $\bigcirc G(z) = \mathcal{Z}[G_1(s) + G_2(s)]$ $\bigcirc G(z) = (1 - z^{-1})\mathcal{Z}[\frac{1}{s}G_1(s) G_2(s)]$ $\bigcirc G(z) = \mathcal{Z}[G_1(s)] \mathcal{Z}[G_2(s)]$